

A-465

ОБЪЕДИНЕННЫЙ
ИНСТИТУТ
ЯДЕРНЫХ
ИССЛЕДОВАНИЙ

Дубна.

315/2-73



P6 - 6794

В.С. Александров, В.С. Бутцев, Ц. Вылов,
К.Я. Громов, В.Г. Калинников

ОПРЕДЕЛЕНИЕ ЭНЕРГИИ РАСПАДА



ЯДЕРНЫХ ПРОБЛЕМ

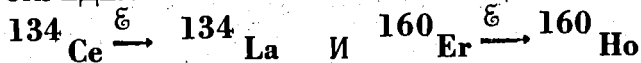
Лаборатория

1972

P6 - 6794

В.С. Александров, В.С. Бутцев, Ц. Вылов,
К.Я. Громов, В.Г. Калинников

ОПРЕДЕЛЕНИЕ ЭНЕРГИИ РАСПАДА



Направлено в Изв. АН СССР
(сер. физ.)

Объединенный институт
ядерных исследований
БИБЛИОТЕКА

I. Введение

Когда энергия распада не очень сильно превышает энергию связи электрона на К -оболочке атома (E_K), то доля К -захвата в электронном захвате сильно зависит от энергии распада Q_ϵ . Уменьшение вероятности К -захвата с уменьшением Q_ϵ вызвано наличием множителя $(Q_\epsilon - E_K)$ в формуле для вероятности разрешенного К -захвата:

$$W_K = C Q_K^2 (Q_\epsilon - E_K)^2,$$

где $C = \text{const}$, Q_K - радиальная волновая функция захваченного электрона.

При $Q_\epsilon < E_K$ К -захват энергетически невозможен, и весь бета-распад идет путем L - и M -захвата.

Рассмотрим вопрос определения энергии распада $\overset{134}{\text{Ce}} \rightarrow \overset{134}{\text{La}}$
 $\overset{160}{\text{Er}} \rightarrow \overset{160}{\text{Ho}}$.

2. Метод

Применяемый метод рассмотрим на примере распада $\overset{160}{\text{Er}} \rightarrow \overset{160}{\text{Ho}}$. Схема распада $\overset{160}{\text{Er}} \rightarrow \overset{160}{\text{Ho}} \rightarrow \overset{160}{\text{Dy}}$ приведена на рис. 2 а/I/.

Число рентгеновских лучей K -серии Ho на 100 распадов $\overset{160}{\text{Er}}$ за время измерения $\Delta t = t_2 - t_1$ определяется формулой:

$$I_K(\text{Ho}) = C N_0 \lambda_i \kappa / \epsilon (\text{Er}) 100 \omega_K(\text{Ho}) \int_{t_1}^{t_2} e^{-\lambda_i t} dt,$$

где C - коэффициент, зависящий от абсолютной эффективности детектора; N_0 - число ядер ^{160}Er в момент разделения Er от Ho ; $\lambda = \frac{\ln 2}{T_{1/2}}$ - постоянная распада ^{160}Er ; $\omega_k(N_0)$ - выход флюресценции на K -оболочке атома; $\kappa_e(\text{Er})$ доля K -захвата в электронном захвате ^{160}Er .

Аналогично, число рентгеновских лучей K -серии Dy на 100δ распадов ^{160}Ho за время измерения $\Delta t = t_2 - t_1$ равно:

$$I_K^m(\text{Dy}) = C N_0 \frac{\lambda_1 \lambda_2}{\lambda_2 - \lambda_1} 100\delta \omega_k(\text{Dy}) [\kappa_e(\text{Ho}) + \sum_i I_{fi}^m \alpha_{ki}] \int (e^{-\lambda_1 t} - e^{-\lambda_2 t}) dt,$$

где δ - доля β -распадов изомерного состояния; член $\sum_i I_{fi}^m \alpha_{ki}$ учитывает вклад электронов внутренней конверсии (ЭВК) при образовании дырок на K -оболочке атома Dy ; I_{fi}^m - интенсивность f -лучей при распаде $^{160}\text{Ho} \rightarrow {}^{160}\text{Dy}$; α_{ki} - соответствующие КДК.

Так же, число рентгеновских лучей K -серии Dy на $100(1-\delta)$ распадов ^{160}Ho за время измерения $\Delta t = t_2 - t_1$ равно:

$$I_K^g(\text{Dy}) = C N_0 \lambda_1 \lambda_2 \lambda_3 100(1-\delta) \omega_k(\text{Dy}) [\kappa_e(\text{Ho}) + \sum_i I_{fi}^g \alpha_{ki}] \times \\ \times \left\{ \frac{1}{(\lambda_2 - \lambda_1)(\lambda_3 - \lambda_1)} \int_{t_1}^{t_2} e^{-\lambda_1 t} dt + \frac{1}{(\lambda_3 - \lambda_2)(\lambda_1 - \lambda_2)} \int_{t_1}^{t_2} e^{-\lambda_2 t} dt + \frac{1}{(\lambda_1 - \lambda_3)(\lambda_2 - \lambda_3)} \int_{t_1}^{t_2} e^{-\lambda_3 t} dt \right\}.$$

Учитывая, что

- доля β^+ распада мала ($< 0,3\%$ на распад), ее пренебрегаем;

- измерение проводится через 100 часов после получения источника ^{160}Er ($\lambda_1 = 0,024 \text{ ч}^{-1}$; $\lambda_2 = 0,139 \text{ ч}^{-1}$; $\lambda_3 = 1,65 \text{ ч}^{-1}$) и тогда: $e^{-\lambda_1 t} \sim 0,055$; $e^{-\lambda_2 t} \sim 10^{-8}$; $e^{-\lambda_3 t} \sim 10^{-60}$;

- $\sum_i I_{fi}^g \alpha_{ki} \sim \sum_i I_{fi}^m \alpha_{ki}$ - это оправдано тем, что $Q_e({}^{160}\text{Ho})$ велико и при распаде обоих изомеров возбуждается большое число f -переходов в ${}^{160}\text{Dy}$;

Можно записать:

$$\kappa/\epsilon(Er) = \frac{\lambda_2(\lambda_2 - \lambda_1)^{-1}}{I_k(Dy)/I_k(Ho)} \left[\kappa/\epsilon(Ho) + \sum_i I_{fi} \alpha_{ki} \right] \frac{\omega_k(Dy)}{\omega_k(Ho)},$$

где $\sum_i I_{fi} \alpha_{ki}$ - вклад ЭВК при образовании дырок на K -оболочке Dy при распаде равновесной смеси $^{160m}Ho + ^{160g}Ho$.

Измерив в эксперименте отношение $I_k(Dy)/I_k(Ho)$ и используя результаты^{/2/} для определения значения $\sum_i I_{fi} \alpha_{ki}$ и $\kappa/\epsilon(Ho)$, можно определить значение $\kappa/\epsilon(Er)$. Сравнивая этот результат с теоретическим значением $\kappa/\epsilon(Er)$ для разрешенного β -перехода (с учетом обменных факторов)^{/3/}, определяем значение Q_E (рис. 2б).

Для распада $^{134}Ce \rightarrow ^{134}La$ (рис. 1а) можно получить аналогичное выражение:

$$\kappa/\epsilon(Ce) = \frac{I_k(La)}{I_k(Ba)} \delta \kappa/\epsilon(La) \frac{\omega_k(Ba)}{\omega_k(La)},$$

где δ - доля ϵ -захвата при распаде $^{134}La \rightarrow ^{134}Ba$.

Теоретическая кривая для разрешенного β -перехода (с учетом обменных факторов^{/3/}) приведена на рис. 1б.

3. Эксперимент

Изотопы ^{134}Ce и ^{160}Er получены в реакции глубокого расщепления гадолиния и тантала протонами с энергией 660 МэВ на синхроциклотроне ОИЯИ, с последующим химическим и изотопным разделением на электромагнитном масс-сепараторе^{/4/}. Спектр рентгеновских лучей K -серии изучался с помощью $Ge(Li)$ -детектора с высоким разрешением^{/5/}. Обработка спектров производилась с помощью программы "Каток"^{/6/}. На рис. 3 и 4 приведены измеренные спектры. Получены значения:

$$\frac{I_K(La)}{I_K(Ba)} = 2,43 \pm 0,10$$

$$\frac{I_K(Dy)}{I_K(Ho)} = 1,66 \pm 0,04$$

4. Определение энергии распада

Для определения величины $\kappa/\epsilon(La)$ использованы результаты работы^{7/}: $\kappa/\beta^+ = 0,44 \pm 0,03$. Если предположим, что вся погрешность относится к вероятности К - захвата (самый неблагоприятный случай в точности определения энергии распада), получаем:

$$\kappa/\epsilon(Ce) = 0,72 \pm 0,06$$

Вклад конверсионных электронов при распаде $^{160}Er \rightarrow ^{160}Ho \rightarrow ^{160}Dy$ берется в соответствии со схемой распада $^{160m,9}Ho$ ^{12/} и определяется по балансу интенсивностей γ -переходов, приходящих на основное состояние ^{160}Dy : $0,214 \pm 0,010$. Значение величины $\kappa/\epsilon(Ho) = 0,870$ ^{3/}. Тогда:

$$\kappa/\epsilon(Er) = 0,795 \pm 0,020$$

Из рис. 1б и 2б следует, что

$$Q_\epsilon (^{164}Ce \xrightarrow{\epsilon} La) = 110_{-30}^{+90} \text{ кэв}$$

$$Q_\epsilon (^{160}Er \xrightarrow{\epsilon} ^{160m}Ho) = 310_{-70}^{+190} \text{ кэв.}$$

Разность масс $^{160}Er \rightarrow ^{160}Ho$ в основных состояниях будет в этом случае составлять:

$$\Delta M (^{160}Er \rightarrow ^{160}Ho) = 370_{-70}^{+190} \text{ кэв.}$$

Применяя данные работы^{/8/}, получаем $Q_E(^{134}\text{Ce} \rightarrow ^{134}\text{La}) = 115_{-15}^{+25}$ кэв (здесь не учтена ошибка определения доли электронного захвата). В работе^{/7/} сделана оценка для L/K в ^{134}Ce и для Q_E получено значение: 120_{-20}^{+60} кэв.

Энергия распада $^{160}\text{Er} \rightarrow ^{160}\text{Ho}$ определялась и в работе^{/1/}, где значение $I_K(\text{Dy})/I_K(\text{Ho}) = 1,85 \pm 0,10$ получено при измерении спектра Оже-электронов. Было получено $Q_E = 230_{-80}^{+\infty}$ кэв. Учитывая более точно вклад конверсионных электронов в интенсивности рентгеновских лучей (см. выше), получаем: $Q_E = 160_{-30}^{+80}$ кэв.

Зная энергию распада и период полураспада, можно получить соответствующие $\lg f_0 T$:

$$\lg f_0 T (^{134}\text{Ce} \rightarrow ^{134}\text{La}) = 3,9_{-0,5}^{+0,7}$$

$$\lg f_0 T (^{160}\text{Er} \rightarrow ^{160}\text{Ho}) = 4,8_{-0,3}^{+0,6}$$

Следовательно, оправдано предположение, что эти бета-переходы являются разрешенными. В случае распада $^{160}\text{Er} \rightarrow ^{160}\text{Ho}$ этот результат подтверждает предположения о существовании второго возбужденного уровня ^{160}Ho с характеристикой I^+ , на который идет β^- -распад с уровня $0^+ {^{160}\text{Er}}$ /1/.

5. Заключение

Примененный метод определения энергии распада является практически единственным для цепочек распада, подобным рассмотренным. Дальнейшее увеличение точности связано в некоторой мере с увеличением точности определения ветвления при наличии конкурирующего позитронного распада.

Авторы искренне благодарят Н.А.Лебедева, В.П.Афанасьеву и И.И.Громову за изготовление препаратов, а также Е.П.Григорьева за интерес к работе и содействие при выполнении работы на раннем этапе.

Литература

1. И.П.Авотина, Е.П.Григорьев, Б.С.Джелепов, А.В.Золотовин.
Изв. АН СССР, сер.физ., 29, 1098 (1965).
2. Е.П.Григорьев, К.Я.Громов и др.
Изв. АН СССР, сер.физ., 33, 635 (1969).
3. Б.С.Джелепов, Л.Н.Зырянова, Ю.П.Суслов.
Бета-процессы, Изд. "Наука", Ленинград, 1972.
4. В.П.Афанасьев, А.Т.Василенко и др.
ОИЯИ, Р13-4763, Дубна, 1969.
5. Ц.Вылов, И.Н.Егошин и др. ОИЯИ, Р13-6440, Дубна, 1972.
6. В.Гаджоков. ОИЯИ, Р10-5035, Дубна, 1970.
7. Е.И.Бирюков, В.Т.Новиков, Н.С.Шиманская.
Изв. АН СССР, сер.физ., 29, 151 (1965).
8. Glenn M.Julian and S.Jha.
Nucl.Phys., A100, 392 (1967).

Рукопись поступила в издательский отдел
10 ноября 1972 года.

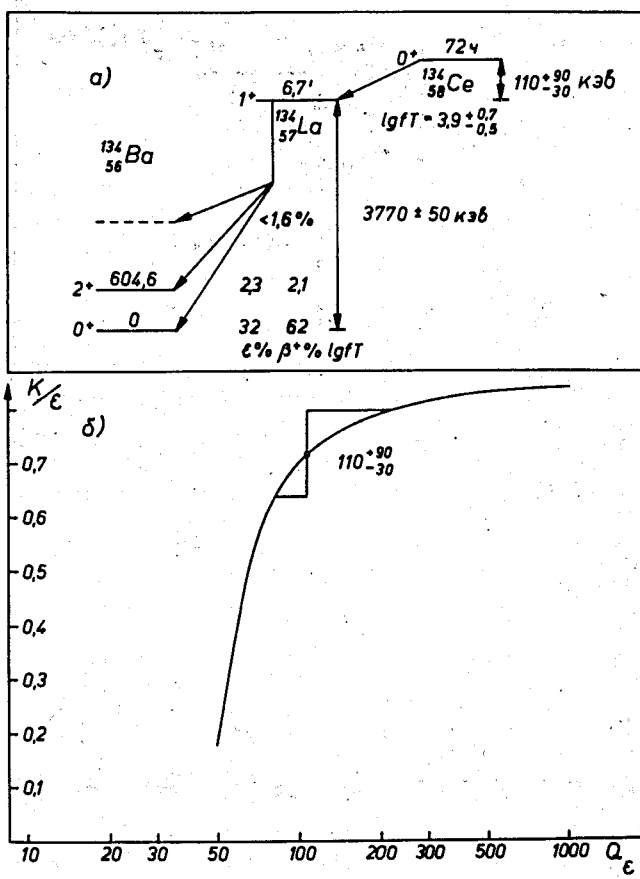


Рис. 1а. Схема распада $^{134}\text{Ce} \rightarrow ^{134}\text{La} \rightarrow ^{134}\text{Ba}$.

Рис. 1б. Зависимость отношения K/e при электронном захвате $^{134}\text{Ce} \rightarrow ^{134}\text{La}$ от энергии распада Q_e .

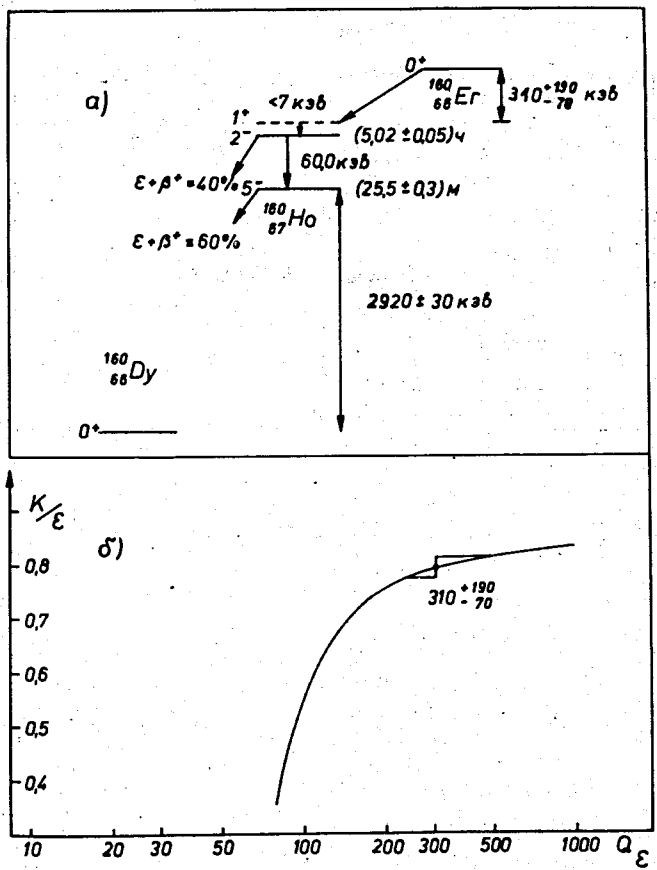


Рис. 2а. Схема распада $^{160}\text{Er} \longrightarrow ^{160}\text{Ho} \longrightarrow ^{160}\text{Dy}$

Рис. 2б. Зависимость отношения K/ϵ при электронном захвате $^{160}\text{Er} \longrightarrow ^{160}\text{Ho}$ от энергии распада Q_ϵ .

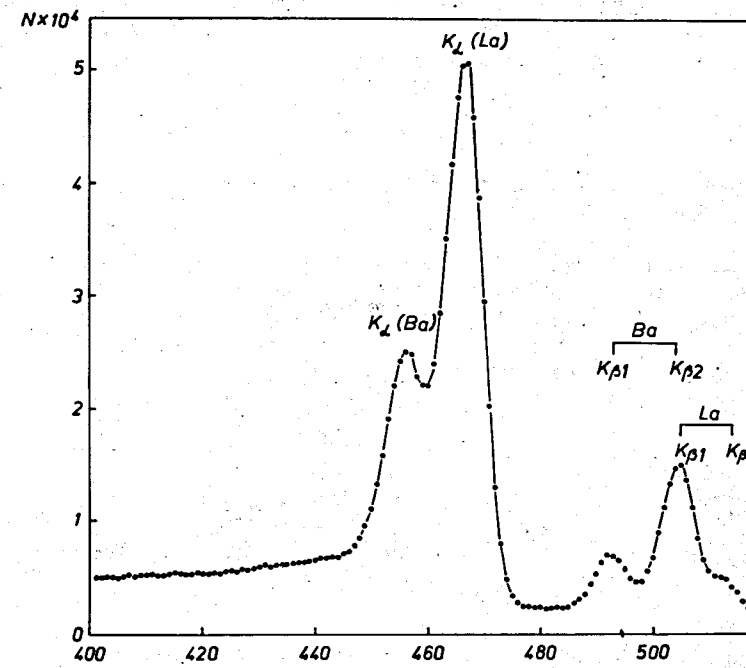


Рис. 3. Спектр рентгеновских лучей К -серии при $^{134}\text{Ce} \longrightarrow ^{134}\text{La} \longrightarrow ^{134}\text{Ba}$.

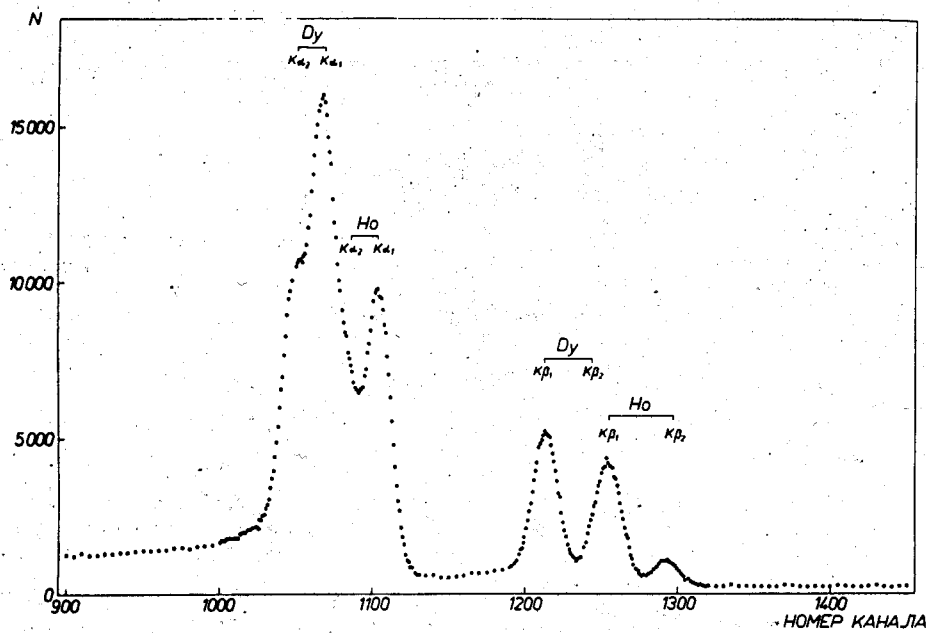


Рис. 4. Спектр рентгеновских лучей K -серии при распаде
 $^{160}\text{Er} \rightarrow ^{160}\text{Ho} \rightarrow ^{160}\text{Dy}$.